

رسالة محمد



دانشگاه صنعتی اصفهان
دانشکده کشاورزی

شناسایی و جداسازی راه‌انداز القائی rd29A از گیاه آراییدوپسیس
(*Arabidopsis thaliana*) و ارزیابی عملکرد آن در گیاه تراریخت اطلسی

پایان‌نامه کارشناسی ارشد بیوتکنولوژی کشاورزی

مهرنوش شکوهی

اساتید راهنما

دکتر سیروس قبادی

دکتر بدرالدین ابراهیم سیدطباطبایی



دانشگاه صنعتی اصفهان
دانشکده کشاورزی

پایان نامه کارشناسی ارشد بیوتکنولوژی کشاورزی خانم مهنوش شکوهی

تحت عنوان

شناسایی و جداسازی راه انداز القائی rd29A از گیاه آراییدوپسیس
(*Arabidopsis thaliana*) و ارزیابی عملکرد آن در گیاه تراریخت اطلسی

در تاریخ ۹۳/۱۰/۱۳ توسط کمیته تخصصی زیر مورد بررسی و تصویب نهایی قرار گرفت.

دکتر سیروس قبادی

۱- استاد راهنمای پایان نامه

دکتر بدرالدین ابراهیم سیدطباطبایی

۲- استاد راهنمای پایان نامه

دکتر بهرام شریف نبی

۳- استاد داور

دکتر امیر مساح

۴- استاد داور

دکتر محمد مهدی مجیدی

سرپرست تحصیلات تکمیلی دانشکده

به نام خداوندی که داشتن او جبران همه نداشته‌های من است

سپاس و ستایش اهورا راسزد، خداوند و ممترو آفریدگار جهان و جهانیان.

او را من نهایت ساکرم که به من توفیق عنایت فرمود تا به انجام رسانم هر آنچه را که بایادش آغاز کردم.

سپاس بیکران از پدر و مادر عزیزتر از جانم که به من چکونه زیستن را آموختند، مشوق راه دانستم بودند و اکنون نیز وجودشان استوارکننده قدم‌هایم است و همچنین از برادر و خواهران دلسوزم که همواره تکیه‌گاه عاطفیم بودند، نهایت تشکر را دارم.

در طی انجام این پایان‌نامه، همواره به من منت انسان‌هایی شریف، مسم، زحمات اساتید راهنمایی عزیز و بزرگوارم جناب

آقای دکتر سیروس قبادی و جناب آقای دکتر بدرالدین ابراهیم سید طباطبائی، که با صبر و حوصله بسیار مراد مسیر این

پایان‌نامه هدایت فرمودند و روح فعالیت را در من برانگیختند. از اساتید ارجمند، آقایان دکتر بهرام شریف‌نوی و دکتر

امیرسلح که زحمات بازخوانی و داوری این پایان‌نامه را تقبل نمودند صمیمانه قدردانی می‌نمایم.

بر خود لازم می‌دانم از دوست و معلم عزیزم سرکار خانم دکتر غزاله خاکسار قدردانی نمایم که خطبه خط این نوشته را با من

آمدند و آمد نشان‌نهایی دوستی و مهرشان بود. از زحمات کارشناس آزمایشگاه بیوتکنولوژی جناب آقای مهندس محمدی،

سرکار خانم مهندس افاضل و تکنسین آزمایشگاه جناب آقای عزیزی، سپاسگزارم.

از دوست‌های مهربانم خانم هانیلو فرحانی، سمانه سیاوش و آقایان رضاد بونیا، مرتضی قربانی و رحیم ملک زاده که در مسیر

این کار صمیمانه مرا همراهی کردند نیز سپاسگزارم. نام‌هایی ذکر شده مجموعه‌ای قلم‌نوشته‌اند که هیچ ترتیبی بر آن نمی‌توان نهاد،

اگر نامی در آن نیست حکایت از نبودن یاد نیست و خورده بر قلم می‌رود نه بر من.

مهرنوش شگویی

زمستان ۹۳

کلیه حقوق مادی مترتب بر نتایج مطالعات، ابتکارات و

نوآوری‌های ناشی از تحقیق موضوع این پایان‌نامه متعلق

به دانشگاه صنعتی اصفهان است

اگر شایسته باشد

تقدیم به

همراهان، همیشگی ام

به آنان که چراغ راهم هستند

.

پدر و مادرم

و نیز

برادر و خواهرانم

عزیزانی که بیچ گاه پاشکوی زحمت بی دریشان نخواهم بود

فهرست مطالب

صفحه	عنوان
هشتم	فهرست مطالب
دوازدهم	فهرست اشکال
پانزدهم	فهرست جداول
۱	چکیده
فصل اول: مقدمه	
۲-۱-۱	پیشگفتار
۲-۱-۲	راه‌انداز و تنظیم بیان ژن
۱-۲-۱	هسته راه‌انداز
۳-۱	عناصر تنظیمی پاسخ‌دهنده به محرک‌های محیطی
۴-۱	سایر عناصر تنظیمی موثر در بیان ژن‌ها
۵-۱	انواع راه‌اندازها
۶-۱	تنش و تنظیم بیان ژن
۷-۱	بررسی و مطالعه عوامل رونویسی DREB
۱-۷-۱	پروتئین‌های DREB1/CBFs و مقاومت به تنش سرما
۲-۷-۱	پروتئین‌های DREB2 در تنش‌های شوری، خشکی و گرما
۸-۱	تشدید بیان ژن به کمک راه‌اندازهای القایی
۹-۱	راه‌انداز القایی rd29A
۱۰-۱	پیشینه تحقیق
۱۱-۱	اطلسی و اهمیت آن
۱۲-۱	بیان مسئله و هدف تحقیق
فصل دوم: مواد و روش‌ها	
۱-۲	بررسی توالی به روش زیست‌رایانه‌ای و طراحی آغازگرها
۲-۲	کشت درون شیشه‌ای آراییدوپسیس
۳-۲	استخراج DNA ژنومی از گیاه آراییدوپسیس
۴-۲	بررسی کیفی و کمی DNA استخراج شده
۱-۴-۲	روش بیوفتومتری

- ۲-۴-۲- روش ژل الکتروفورز..... ۲۴
- ۲-۵- واکنش زنجیرهای پلیمرز (PCR)..... ۲۵
- ۲-۶- انتقال قطعات تکثیر شده به پلاسمید ۲۶
- ۲-۷- تهیه سلول‌های مستعد باکتری *Escherichia coli*..... ۲۷
- ۲-۸- انتقال پلاسمید حاوی قطعه مورد نظر به باکتری‌های مستعد شده *E. coli*..... ۲۷
- ۲-۹- کلونی PCR..... ۲۸
- ۲-۱۰- استخراج پلاسمید از باکتری *E. coli* (استخراج پلاسمید در حجم کوچک)..... ۲۹
- ۲-۱۱- تایید وجود راه‌انداز rd29A در پلاسمید با برش آنزیمی ۳۰
- ۲-۱۲- توالی‌یابی پلاسمید حاوی راه‌انداز rd29A ۳۱
- ۲-۱۳- ساخت دستواره pBI121:rd29A:gus (همسانه‌سازی راه‌انداز rd29A در پلاسمید pBI121)..... ۳۲
- ۲-۱۳-۱- جداسازی راه‌انداز CaMV35S از پلاسمید pBI121 ۳۲
- ۲-۱۳-۲- تکثیر راه‌انداز rd29A از پلاسمید pTZ57R/T ۳۲
- ۲-۱۳-۳- خالص کردن راه‌انداز rd29A و پلاسمید pBI121 به طور جداگانه از ژل ۳۲
- ۲-۱۳-۴- اتصال راه‌انداز rd29A به پلاسمید pBI121 ۳۳
- ۲-۱۳-۵- استخراج پلاسمید pBI121 از باکتری *E. coli* XL1 blue و انجام مراحل تایید مولکولی ۳۴
- ۲-۱۴- ساخت دستواره pBI121:rd29A:DREB1B ۳۵
- ۲-۱۴-۱- خارج کردن راه‌انداز rd29A از پلاسمید pBI121 حاوی دستواره pBI121:rd29A:gus ۳۵
- ۲-۱۴-۲- جداسازی راه‌انداز 35S از پلاسمید pBI121 حاوی دستواره pBI121:35S:DREB1B ۳۶
- ۲-۱۴-۳- خارج کردن ژن DREB1B از پلاسمید pBI121 حاوی دستواره pBI121:35S:DREB1B ۳۶
- ۲-۱۴-۴- جداسازی ژن gus از پلاسمید pBI121 حاوی دستواره pBI121:rd29A-899bp:gus ۳۷
- ۲-۱۴-۵- خالص کردن راه‌انداز rd29A و ژن DREB1B و پلاسمید pBI121 به طور جداگانه از ژل ۳۸
- ۲-۱۴-۶- اتصال راه‌انداز rd29A و ژن DREB1B به پلاسمید pBI121 ۳۸
- ۲-۱۴-۷- استخراج پلاسمید pBI121 حاوی راه‌انداز از باکتری *E. coli* XL1 blue و انجام مراحل تایید مولکولی ۳۸
- ۲-۱۴-۸- بررسی برهمکنش فاکتور رونویسی DREB1B به صورت زیست‌رایانه‌ای ۴۱
- ۲-۱۵- ساخت دستواره pBI121:rd29A:nptII (همسانه‌سازی راه‌انداز rd29A در پلاسمید pBI121 حاوی ژن *nptII*) ۴۱
- ۲-۱۵-۱- جداسازی راه‌انداز nos از پلاسمید pBI121 ۴۱
- ۲-۱۵-۲- جدا کردن راه‌انداز rd29A از پلاسمید pTZ57R/T ۴۱
- ۲-۱۵-۳- خالص کردن راه‌انداز rd29A و پلاسمید pBI121 حاوی ژن *nptII* به طور جداگانه از ژل ۴۲

- ۴۲-۱۵-۴- اتصال راه‌انداز rd29A به پلاسمید pBI121..... ۴۲
- نه
- ۴۲-۱۵-۵- استخراج پلاسمید pBI121 از باکتری *E. coli* XL1 blue و انجام مراحل تایید مولکولی ۴۲
- ۴۴-۱۶-۲- انتقال دستواره‌ها به باکتری آگروباکتریوم (*Agrobacterium tumefaciens* GV3101) ۴۴
- ۴۵-۱۷-۲- انتقال دستواره pBI121:rd29A:nptII (با دو توالی ۸۹۹ و ۱۲۶۰ جفت‌باز برای rd29A) به گیاه اطلسی ۴۵
- ۴۵-۱۸-۲- تایید فیزیولوژیکی گیاهان تراریخت در شرایط تنش ۴۵
- ۴۶-۱۹-۲- استخراج DNA ژنومی از گیاه اطلسی تراریخت ۴۶
- ۴۶-۲۰-۲- تایید مولکولی گیاهان تراریخت ۴۶
- ۴۶-۲۰-۱- تایید از طریق PCR با آغازگرهای اختصاصی ۴۶
- ۴۶-۲۰-۲- تایید بیان ژن *nptII* در گیاهان تراریخت از طریق RT-PCR ۴۶
- ۴۶-۲۱-۲- استخراج RNA کل از گیاه تراریخت اطلسی ۴۶
- ۴۷-۲۱-۱- آماده سازی وسایل جهت استخراج RNA ۴۷
- ۴۷-۲۱-۲- استخراج RNA ۴۷
- ۴۸-۲۲-۲- بررسی کیفی و کمی RNA استخراج شده ۴۸
- ۴۸-۲۲-۱- روش اسپکتروفتومتری ۴۸
- ۴۸-۲۲-۲- روش الکتروفورز ژل آگارز ۴۸
- ۴۹-۲۳-۲- تهیه cDNA ۴۹
- ۵۰-۲۴-۲- واکنش زنجیره‌ای پلیمرز معکوس (RT-PCR) ۵۰

فصل سوم: نتایج و بحث

- ۵۲-۱-۳- استخراج DNA آراییدوپسیس ۵۲
- ۵۲-۲-۳- جداسازی راه‌انداز rd29A از نمونه‌های آراییدوپسیس به روش PCR ۵۲
- ۵۳-۳-۳- همسانه‌سازی و توالی‌یابی راه‌انداز rd29A ۵۳
- ۵۳-۴-۳- تایید وجود راه‌انداز rd29A در پلاسمید pTZ57R/T ۵۳
- ۵۴-۵-۳- تایید همسانه‌سازی و انتقال راه‌انداز rd29A به باکتری *E. coli* ۵۴
- ۵۵-۶-۳- توالی‌یابی راه‌انداز rd29A و مطالعه زیست‌رایانه‌ای آنها ۵۵
- ۵۶-۷-۳- ساخت دستواره pBI121-rd29A-gus ۵۶
- ۵۸-۸-۳- تایید پلاسمید همسانه‌سازی شده (دستواره pBI121:rd29A:gus) ۵۸
- ۵۹-۹-۳- ساخت دستواره pBI121:rd29A:DREB1B ۵۹
- ۶۳-۱۰-۳- تایید پلاسمید همسانه‌سازی شده (دستواره pBI121:rd29A:DREB1B) ۶۳

۳-۱۱- مطالعه‌ی زیست‌رایانه‌ای برهمکنش فاکتور رونویسی *DREB1B* با پروتئین‌های دیگر..... ۶۴

۳-۱۲- ساخت دستواره *pBI121:rd29A:nptII*..... ۷۲

۵

۳-۱۳- تایید پلاسمید همسانه‌سازی شده (دستواره *pBI121:rd29A:nptII*)..... ۷۵

۳-۱۴- انتقال دستواره‌ها به باکتری *Agrobacterium tumefaciens*..... ۷۶

۳-۱۵- انتقال دستواره *pBI121:rd29A:nptII* به گیاه اطلسی با استفاده از برگ..... ۷۸

۳-۱۶- تایید فیزیولوژیک گیاهان تراریخت..... ۸۰

۳-۱۷- آنالیز زیست‌رایانه‌ای عناصر تنظیمی راه‌انداز *rd29A*..... ۸۲

۳-۱۸- تایید مولکولی گیاهان تراریخت شده با دستواره *pBI121:rd29A:nptII*..... ۸۷

۳-۱۸-۱- تایید توسط PCR با آغازگرهای راه‌انداز *rd29A*..... ۸۷

۳-۱۸-۲- تایید فعالیت راه‌انداز و بیان ژن در گیاه تراریخت با RT-PCR..... ۸۸

فصل چهارم: نتیجه‌گیری کلی و پیشنهادها

۴-۱- نتیجه‌گیری کلی..... ۹۰

۴-۲- پیشنهادها..... ۹۱

منابع..... ۹۴

یازده

فهرست اشکال

- شکل ۱-۱- عناصر هسته راه انداز ۳
- شکل ۲-۱- نواحی مختلف تنظیمی ژن های یوکاریوتی ۹
- شکل ۳-۱- مدلی برای اختصاصی بودن تقویت کننده هسته راه انداز ۱۰
- شکل ۴-۱- تصویر شماتیک از دو نوع مجزا از جداکننده ها ۱۱
- شکل ۵-۱- فاکتورهای نسخه برداری و عناصر فعال سیس موجود در شبکه ی تنظیمی نسخه برداری ژن های القا شونده با تنش های محیطی. ۱۳
- شکل ۶-۱- مسیر انتقال سیگنال سرما به DREB1A، و خشکی و شوری به DREB2A، و در انتها، القای ژن های پاسخ دهنده به تنش. ۱۴
- شکل ۷-۱- تصویر شماتیک از عناصر فعال سیس موجود بر روی راه اندازهای القایی rd29A و rd29B ۱۶
- شکل ۱-۲- موقعیت آغاز گر ها روی راه انداز rd29A ۲۱
- شکل ۲-۲- محل قرار گیری راه انداز rd29A به طول ۸۹۹ جفت باز در پلاسمید pTZ57R/T ۳۱
- شکل ۳-۲- محل قرار گیری راه انداز rd29A به طول ۱۲۶۰ جفت باز در پلاسمید pTZ57R/T ۳۱
- شکل ۴-۲- محل راه انداز CaMV 35S در پلاسمید pBI121 ۳۲
- شکل ۵-۲- اتصال راه انداز rd29A به پلاسمید pBI121 حاوی ژن gus ۳۳
- شکل ۶-۲- پلاسمید pBI121 حاوی راه انداز rd29A ۳۶
- شکل ۷-۲- محل قرار گرفتن راه انداز 35S پلاسمید pBI121 ۳۶
- شکل ۸-۲- محل قرار گرفتن ژن DREB1B در پلاسمید pBI121 ۳۷
- شکل ۹-۲- محل قرار گیری ژن gus در پلاسمید pBI121 ۳۷
- شکل ۱۰-۲- اتصال راه انداز rd29A و ژن DREB1B به پلاسمید pBI121 ۳۸
- شکل ۱۱-۲- محل قرار گیری راه انداز nos در پلاسمید pBI121 ۴۱
- شکل ۱۲-۲- اتصال راه انداز rd29A به پلاسمید pBI121 حاوی ژن nptII ۴۲
- شکل ۱-۳- استخراج DNA از آراییدوپسیس ۵۲
- شکل ۲-۳- تکثیر راه انداز rd29A توسط آغاز گر های اختصاصی ۵۳
- شکل ۳-۳- کلونی های رشد کرده بر محیط حاوی آنتی بیوتیک آمپی سیلین ۵۳
- شکل ۴-۳- تایید کلون های تراریخت حاوی راه انداز rd29A با کلونی PCR ۵۴
- شکل ۵-۳- استخراج پلاسمید pTZ57R/T حاوی راه انداز rd29A از باکتری MC1061 ۵۴
- شکل ۶-۳- برش آنزیمی پلاسمید pTZ57R/T ۵۵
- شکل ۷-۳- نتایج همردیف سازی راه انداز rd29A به طول ۸۹۹ جفت باز در پایگاه داده ی NCBI ۵۵
- شکل ۸-۳- نتایج همردیف سازی راه انداز rd29A به طول ۱۲۶۰ جفت باز در پایگاه داده ی NCBI ۵۶
- شکل ۹-۳- تکثیر راه انداز rd29A توسط آغاز گر های اختصاصی و برش آنزیمی با آنزیم های BamHI و HindIII ۵۶
- شکل ۱۰-۳- محل قرار گیری راه انداز 35S در پلاسمید pBI121 ۵۷
- شکل ۱۱-۳- برش آنزیمی پلاسمید pBI121 با آنزیم های BamHI و HindIII ۵۷
- شکل ۱۲-۳- کلون های تراریخت باکتری XL1blue حاوی دستواره pBI121:rd29A:gus در محیط LB دارای کانامایسین

۵۸.....	
۵۸.....	شکل ۳-۱۳- شکل شماتیک از دستواره <i>pBI121:rd29A:gus</i>
	دوازده
۵۸.....	شکل ۳-۱۴- استخراج پلاسمید <i>pBI121</i> حاوی دستواره <i>pBI121:rd29A:gus</i> از باکتری <i>XL1blue</i>
۵۹.....	شکل ۳-۱۵- قطعات حاصل از تکثیر راه‌انداز <i>rd29A</i> در دستواره <i>pBI121:rd29A:gus</i>
۵۹.....	شکل ۳-۱۶- تکثیر از ابتدای راه‌انداز <i>rd29A</i> تا انتهای ژن <i>gus</i>
۶۰.....	شکل ۳-۱۷- محل قرارگیری راه‌انداز <i>rd29A</i> در پلاسمید <i>pBI121</i>
۶۰.....	شکل ۳-۱۸- محل قرارگیری ژن <i>DREB1B</i> در پلاسمید <i>pBI121</i>
۶۱.....	شکل ۳-۱۹- برش آنزیمی راه‌انداز <i>rd29A</i> و ژن <i>DREB1B</i> در پلاسمید <i>pBI121</i>
۶۱.....	شکل ۳-۲۰- محل قرارگیری راه‌انداز <i>35S</i> در دستواره <i>pBI121:35S:DREB1B</i> در پلاسمید <i>pBI121</i>
۶۲.....	شکل ۳-۲۱- محل قرارگیری ژن <i>gus</i> در پلاسمید <i>pBI121</i>
۶۲.....	شکل ۳-۲۲- برش آنزیمی راه‌انداز <i>35S</i> و ژن <i>gus</i> در پلاسمید <i>pBI121</i>
	شکل ۳-۲۳- کلون‌های تراریخت باکتری <i>XL1blue</i> حاوی دستواره <i>pBI121:rd29A:DREB1B</i> در محیط <i>LB</i> دارای
۶۳.....	کانامایسین
۶۳.....	شکل ۳-۲۴- شکل شماتیک از دستواره <i>pBI121:rd29A:DREB1B</i>
۶۳.....	شکل ۳-۲۵- استخراج پلاسمید <i>pBI121</i> حاوی دستواره <i>pBI121-rd29A-DREB1B</i> از باکتری <i>XL1blue</i>
۶۴.....	شکل ۳-۲۶- قطعات حاصل از تکثیر ژن <i>DREB1B</i> و راه‌انداز <i>rd29A</i> در دستواره <i>pBI121:rd29A:DREB1B</i>
۶۴.....	شکل ۳-۲۷- تکثیر از ابتدای راه‌انداز <i>rd29A</i> تا انتهای ژن <i>DREB1B</i> در پلاسمید <i>pBI121</i>
۶۵.....	شکل ۳-۲۸- برهمکنش <i>DREB1B</i> (<i>At4g25490</i>) با سایر پروتئین‌های درون سلولی
۶۶.....	شکل ۳-۲۹- شبکه <i>cold acclimation</i>
۶۷.....	شکل ۳-۳۰- شبکه <i>response to cold</i>
۶۸.....	شکل ۳-۳۱- شبکه <i>response to water deprivation</i>
۶۹.....	شکل ۳-۳۲- شبکه <i>co-expression</i>
۷۰.....	شکل ۳-۳۳- شبکه <i>physical intraction</i>
۷۱.....	شکل ۳-۳۴- شبکه <i>shared protein domains</i>
۷۳.....	شکل ۳-۳۵- پلاسمید <i>pTZ57R/T</i> حاوی راه‌انداز <i>rd29A</i>
۷۳.....	شکل ۳-۳۶- برش آنزیمی پلاسمید <i>pTZ57R/T</i> با آنزیم‌های <i>PmeI</i> و <i>NheI</i>
۷۴.....	شکل ۳-۳۷- محل قرارگیری راه‌انداز <i>nos</i> در پلاسمید <i>pBI121</i>
۷۴.....	شکل ۳-۳۸- برش آنزیمی پلاسمید <i>pBI121</i> با آنزیم‌های <i>PmeI</i> و <i>NheI</i>
	شکل ۳-۳۹- کلون‌های تراریخت باکتری <i>XL1blue</i> حاوی دستواره <i>pBI121:rd29A:nptII</i> در محیط <i>LB</i> دارای
۷۴.....	کانامایسین
۷۵.....	شکل ۳-۴۰- نمای شماتیک از دستواره <i>pBI121:rd29A:nptII</i>
۷۵.....	شکل ۳-۴۱- استخراج پلاسمید <i>pBI121</i> حاوی دستواره <i>pBI121-rd29A-nptII</i> از باکتری <i>XL1blue</i>
۷۶.....	شکل ۳-۴۲- قطعات حاصل از تکثیر <i>rd29A</i> در دستواره <i>pBI121:rd29A:nptII</i>
۷۶.....	شکل ۳-۴۳- تکثیر از ابتدای راه‌انداز <i>rd29A</i> تا انتهای ژن <i>nptII</i> در پلاسمید <i>pBI121</i>
۷۷.....	شکل ۳-۴۴- کلون‌های تراریخت شده <i>A. tumefaciens</i> با دستواره مورد نظر در محیط <i>LB</i> دارای کانامایسین
۷۷.....	شکل ۳-۴۵- استخراج پلاسمید <i>pBI121</i> حاوی دستواره مورد نظر از باکتری <i>A. tumefaciens</i>

شکل ۳-۴۶- قطعات حاصل از تکثیر راه‌انداز rd29A در دستواره مورد نظر ۷۸

۳-۴۷- گیاه بالغ اطلسی ۷۹

۳-۴۸- ریزنمونه‌های برگ در محیط کشت ۷۹

سیزده

شکل ۳-۴۹- تشکیل کالوس و جوانه‌زنی از آنها در ریزنمونه‌های برگ ۷۹

شکل ۳-۵۰- ریشه‌زایی گیاهان تراریخت ۸۰

شکل ۳-۵۱- ریشه‌زایی گیاه حاوی دستواره pBI121:rd29A:nptII در محیط تحت تنش شوری و کانامایسین ۸۰

شکل ۳-۵۲- زرد شدن برگها و عدم ریشه‌زایی گیاه شاهد در محیط تحت تنش شوری و کانامایسین ۸۱

شکل ۳-۵۳- وجود ریشه‌های کوتاه در گیاه تراریخت دارای دستواره pBI121:nos:nptII در محیط تحت تنش شوری و

کانامایسین ۸۲

شکل ۳-۵۴- توالی راه‌انداز rd29A به طول ۱۲۶۰ جفت‌باز و شناسایی موتیف‌های موجود بر روی آن، با استفاده از نرم‌افزار

PlantCARE ۸۳

شکل ۳-۵۵- توالی راه‌انداز rd29A به طول ۸۹۹ جفت‌باز و شناسایی موتیف‌های موجود بر روی آن، با استفاده از نرم‌افزار

PlantCARE ۸۴

شکل ۳-۵۶- استخراج DNA کل از اطلسی تراریخت ۸۷

شکل ۳-۵۷- تکثیر راه‌انداز rd29A و 35S در گیاه تراریخت ۸۸

شکل ۳-۵۸- نتایج واکنش PCR روی نمونه RT گیاهان تراریخت ۸۸

چهارده

فهرست جداول

جدول ۱-۱- عناصر هسته راه انداز.....	۴
جدول ۲-۱- تنظیم کننده های موجود در ناحیه راه انداز.....	۶
جدول ۱-۲- مشخصات آغازگرهای طراحی شده.....	۲۱
جدول ۲-۲- ترکیب نمک های پرمصرف محیط کشت MS.....	۲۲
جدول ۳-۲- ترکیب نمک های کم مصرف محیط کشت MS.....	۲۲
جدول ۴-۲- ترکیب ویتامین های محیط کشت MS.....	۲۳
جدول ۵-۲- ترکیبات بافر بارگذاری.....	۲۴
جدول ۶-۲- ترکیبات بافر TAE.....	۲۵
جدول ۷-۲- مواد لازم برای انجام واکنش PCR با الگوی DNA ژنومی آرآیدوپسیس.....	۲۵
جدول ۸-۲- شرایط PCR برای تکثیر راه انداز rd29A با آغازگرهای اختصاصی.....	۲۶
جدول ۹-۲- مواد لازم برای واکنش اتصال قطعات راه انداز rd29A به ناقل pTZ57R/T.....	۲۶
جدول ۱۰-۲- مواد لازم برای بافر SOC.....	۲۸
جدول ۱۱-۲- مواد لازم واکنش هضم آنزیمی پلاسمید حاوی راه انداز rd29A.....	۳۰
جدول ۱۲-۲- مواد واکنش اتصال راه انداز rd29A به پلاسمید pBI121.....	۳۴
جدول ۱۳-۲- مواد لازم برای واکنش PCR برای تایید حضور راه انداز در پلاسمید pBI121.....	۳۵
جدول ۱۴-۲- شرایط PCR برای تایید حضور راه انداز در پلاسمید pBI121.....	۳۵
جدول ۱۵-۲- مواد لازم برای انجام واکنش PCR روی نمونه DNA با آغازگرهای <i>DREB1B-F</i> و <i>DREB1B-R</i>	۳۹
جدول ۱۶-۲- شرایط PCR با آغازگرهای <i>DREB1B-F</i> و <i>DREB1B-R</i>	۳۹
جدول ۱۸-۲- مواد لازم برای انجام واکنش PCR روی نمونه DNA با آغازگرهای rd29A-F'1/F'2 و <i>nptII-R</i>	۴۳
جدول ۱۹-۲- شرایط PCR با آغازگرهای rd29A-F'1/F'2 و <i>nptII-R</i>	۴۳
جدول ۲۰-۲- مواد مورد نیاز و مقادیر آن برای مرحله اول سنتز cDNA.....	۴۹
جدول ۲۱-۲- مواد مورد نیاز و مقادیر آن برای مرحله دوم سنتز cDNA.....	۴۹
جدول ۲۲-۲- مواد لازم برای انجام واکنش PCR روی نمونه cDNA با آغازگرهای <i>nptII-F</i> و <i>nptII-R</i>	۵۰
جدول ۲۳-۲- شرایط PCR با آغازگرهای <i>nptII-F</i> و <i>nptII-R</i>	۵۰
جدول ۱-۳- اسامی پروتئین های مرتبط با <i>DREB1B</i> و کد شناسایی آنها در سایت EXPASY.....	۶۵
جدول ۲-۳- اسامی ژن های موجود در شبکه cold acclimation و کد شناسایی آنها در سایت EXPASY.....	۶۷
جدول ۳-۳- اسامی ژن های موجود در شبکه response to cold و کد شناسایی آنها در سایت EXPASY.....	۶۷
جدول ۴-۳- اسامی ژن های موجود در شبکه response to water deprivation و کد شناسایی آنها در سایت EXPASY.....	۶۸
جدول ۵-۳- اسامی ژن های موجود در شبکه co-expression و کد شناسایی آنها در سایت EXPAY.....	۷۰
جدول ۶-۳- اسامی ژن های موجود در شبکه physical intraction و کد شناسایی آنها در سایت EXPASY.....	۷۱
جدول ۷-۳- اسامی ژن های موجود در شبکه shared protein domains و کد شناسایی آنها در سایت EXPASY.....	۷۲
جدول ۸-۳- عناصر تنظیمی در راه انداز rd29A.....	۸۵

پانزده

چکیده

همکاری مشترک محرک‌های محیطی و عناصر تنظیم کننده (cis-acting elements) موجود در راه‌انداز ژن‌ها، نقش بسزایی در بیان ژن‌ها در شرایط متغیر محیطی دارد. راه‌انداز rd29A یک راه‌انداز القاونده (Inducible promoter) با تنش است که استفاده از آن به جای راه‌اندازهای دائمی (Constitutive promoter)، اثرات منفی بر روی رشد و نمو گیاه را به حداقل می‌رساند. در این پژوهش به منظور شناسایی و جداسازی راه‌انداز rd29A از گیاه آراییدوپسیس، DNA کل از این گیاه استخراج شد. آغازگرهای اختصاصی بر اساس توالی بالادست ژن rd29A توسط oligo analyser طراحی و دو ناحیه از راه‌انداز rd29A با طول‌های ۸۹۹ و ۱۲۶۰ جفت‌باز از آراییدوپسیس جدا و در ناقل pTZ57R همسانه‌سازی گردید. عناصر تنظیم کننده موجود بر روی این دو توالی توسط پایگاه داده‌ی PlantCARE شناسایی شد. بررسی توالی‌های مورد مطالعه نشان داد که ۱۰۰٪ مشابهت، با راه‌انداز rd29A گزارش شده در پایگاه داده NCBI وجود دارد. به منظور بررسی فعالیت راه‌انداز rd29A در گیاه اطلسی، شش دستواره شامل ژن *gus*، *DREB1B* و *nptII* تحت راه‌انداز القائی rd29A با دو توالی به طول ۸۹۹ و ۱۲۶۰ جفت‌باز در ناقل دوگانه pBI121 تهیه شد. دستواره‌های *pBI121:rd29A-1260:nptII* و *pBI121:rd29A-899:nptII* و همچنین *pBI121:nos:nptII* به عنوان شاهد، توسط باکتری *Agrobacterium tumefaciens* سویه GV3101 به اطلسی منتقل شد. گیاهان تراریخت رشد یافته در محیط حاوی کانامایسن 100mg/ml، تحت تنش شوری (NaCl ۲۰۰ میلی‌مولار) قرار گرفتند و گیاهان متحمل انتخاب شدند. حضور و فعالیت راه‌انداز rd29A در گیاهان تراریخت توسط روش‌های مولکولی، PCR و RT-PCR تایید گردید. القای راه‌انداز rd29A در گیاهان تراریخت منجر به افزایش تحمل به کانامایسن تحت شرایط تنش شوری در مقایسه با گیاه غیر تراریخت شد. نتایج حاصل از بررسی‌های مولکولی و فیزیولوژی راه‌انداز rd29A نشان داد که راه‌انداز rd29A برخلاف راه‌انداز دائمی nos تنها در شرایط تنش در گیاهان تراریخت اطلسی القا می‌گردد. همچنین نتایج فیزیولوژی حاصل از انتقال دستواره‌های *pBI121:rd29A:nptII*، نتایج زیست‌رایانه‌ای مبنی بر بیان بیشتر ژن *nptII* تحت تنش شوری در گیاه تراریخت

حاوی دستواره pBI121:rd29A-1260bp:nptII را تأیید کرد. با توجه به اینکه بیان دائمی ژن‌های مقاومت به تنش تحت کنترل راه‌انداز دائمی غالباً مانع از رشد طبیعی گیاهان تراریخت می‌شود، بنابراین راه‌انداز القایی rd29A می‌تواند جایگزین مناسبی برای تراریختی گیاهان متحمل به تنش باشد.

کلمات کلیدی: راه‌انداز القایی rd29A، راه‌انداز nos، عناصر تنظیم‌کننده، PlantCARE، ژن *gus*، ژن *DREB1B*، ژن *nptII*

فصل اول

مقدمه

۱-۱- پیشگفتار

خشکی، شوری و دمای پایین، سه فاکتور محیطی مهم اند که بارآوری گیاه را محدود می کنند. تنش های کم آبی سبب القای پاسخ مولکولی، بیوشیمیایی و فیزیولوژیکی در گیاه می شوند و موجب تعدیل آسیب به گیاه می گردند. در مطالعه ژن های القاشونده با تنش های کم آبی در آراییدوپسیس، چندین ژن مانند ژن *RD29A*^۱، که در شرایط متغیر محیطی القا می شود؛ جداسازی شده است [۸۴]. در سال های اخیر، از مهندسی ژنتیک ژن های پاسخ دهنده به تنش های زیستی و غیرزیستی برای بهبود تحمل محصولات مختلف به تنش استفاده شده است. عوامل متعددی، الگوی بیان ژن ها را در شرایط متغیر محیطی تنظیم کرده و در انتقال و دریافت پیام تنش نقش مهمی ایفا می کنند [۱۲]. پژوهش های زیادی نشان می دهد که همکاری مشترک محرک های محیطی عناصر تنظیمی موجود در راه انداز ژن ها، نقش بسزایی در بیان ژن ها در شرایط متفاوت دارد [۹ و ۶۷].

۱-۲- راه انداز و تنظیم بیان ژن

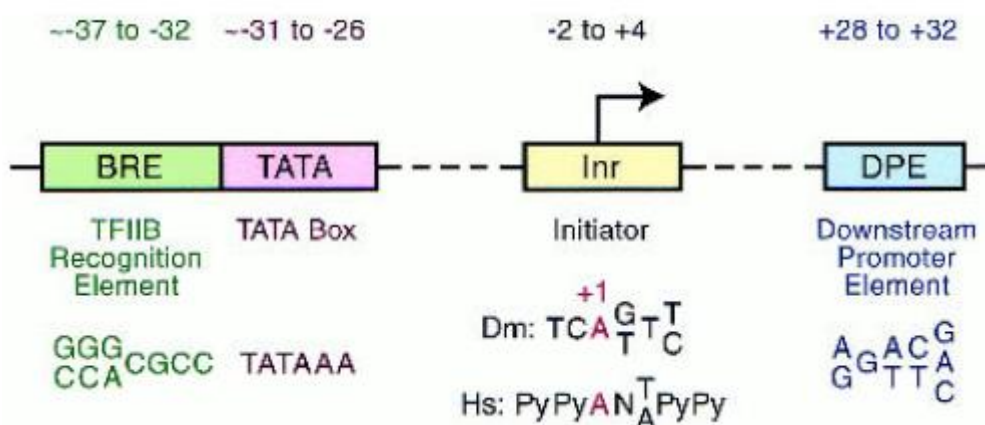
مکانیسم تنظیم رونویسی ژن های یوکاریوتی به خوبی پروکاریوت ها مشخص نشده است، اما پژوهش های زیادی نشان می دهد که توالی های تنظیمی واقع در راه انداز ژن های یوکاریوتی، بیان آن ها در شرایط متفاوت محیطی کنترل می کنند [۷۹]. راه انداز ناحیه ای است که RNA پلیمراز و فاکتورهای نسخه برداری (عمومی و اختصاصی) به هم متصل شده و نسخه برداری را آغاز می کنند [۲۲، ۱۷ و ۴۷]. به

۱. Responsive to Dehydration 29 A

منظور بیان ژن‌های یوکاریوتی، انواعی از پروتئین‌های تنظیمی یا فاکتورهای عمومی نسخه‌برداری با هم همکاری دارند، علاوه بر این، بیان اختصاصی ژن‌ها مستلزم حضور و فعالیت فاکتورهای اختصاصی نسخه‌برداری در یک ژن به خصوص است [۲۹ و ۶۲].

۱-۲-۱- هسته راه‌انداز

آنالیز هسته راه‌انداز، واکاوی مشارکت اساسی بین مکانیسم‌هایی است که سبب وقوع نسخه‌برداری در یوکاریوت‌ها می‌شوند. همچنین، رویدادهایی که قبل از فرایند نسخه‌برداری رخ می‌دهند، غالباً به سمت کمپلکس نسخه‌برداری در هسته راه‌انداز، هدایت می‌شوند [۶]. در نتیجه، هسته راه‌انداز هدف نهایی همه فاکتورهای فعالی است که در تنظیم نسخه‌برداری به وسیله RNA پلیمراز II مشارکت دارند [۹]. در هر ناحیه از راه‌انداز، توالی‌های حفاظت شده‌ای به نام موتیف (Motif) وجود دارد که شامل جعبه TATA، آغازکننده (Inr)^۱، عنصر شناسایی TFIIB (BRE)^۲، و عنصر پایین دست هسته راه‌انداز (DPE)^۳ می‌باشند (شکل ۱-۱) و به طور معمول در هسته راه‌اندازها یافت می‌شوند و نیز زمان و مکان شروع ترجمه را به RNA پلیمراز نشان می‌دهند [۳۰].



شکل ۱-۱- عناصر هسته راه‌انداز. تعدادی از موتیف‌های هسته راه‌انداز که می‌توانند در نسخه‌برداری به وسیله RNA پلیمراز II سهیم باشند، ترسیم شده‌اند. هر یک از این عناصر تنها در یک زیرواحد از هسته راه‌اندازها یافت می‌شوند. هر هسته راه‌انداز مشخص‌مکن است شامل تعدادی، همه، یا هیچ‌یک از این موتیف‌ها باشد. BRE در بالا دست هر زیرواحد جعبه TATA قرار دارد. DPE لازمه یک Inr، و دقیقاً در موقعیت از +۲۸ تا +۳۲ نسبت به نوکلئوتید A₊₁ در Inr است [۹].

مهم‌ترین عنصر تشکیل دهنده‌ی ترکیب شروع نسخه‌برداری، جعبه‌ی TATA با توالی TATA(A/T)A می‌باشد که در ناحیه‌ی ۲۵- تا ۳۰- بالادست نقطه‌ی شروع نسخه‌برداری قرار دارد و توسط پروتئین‌های متصل شونده به جعبه‌ی TATA (TBP)؛^۴ شناسایی می‌شوند [۱۳ و ۲۷]. در راه‌اندازهای

۱. Initiator

۲. B Recognition Element

۳. Downstream Promoter Element

۴. TATA-binding Protein

فاقد جعبه‌ی TATA، توالی دیگری به‌عنوان جایگاه شروع کننده، جایگزین جعبه‌ی TATA شده است [۷۶]. دسته‌ی دیگری از نواحی تنظیم کننده که در پایین دست راه‌انداز قرار گرفته و فعالیتی مشابه با عناصر بالادستی دارند، DPE هستند. این نواحی دارای توالی $(A/G)G(A/T)CGTG$ در قسمت +۳۰ از نقطه‌ی شروع نسخه‌برداری می‌باشند و در راه‌اندازهای گیاهی گزارش شده‌اند [۷]. عنصر مربوط به مکان شروع رونویسی Inr است که در هسته راه‌اندازهای حاوی TATA نیز یافته شده است و توالی مورد توافق برای آن، در سلول‌های پستان‌داران $Py-Py(C)-A_{+1}-N-T/A-Py-Py$ و در *Drosophila melanogaster*، $T-C-A_{+1}-G/T-T-C/T$ می‌باشد. اصطلاح A_{+1} بر حسب مکان شروع +۱ گماشته شده است (زیرا مکان رایج در رابطه با شروع نسخه‌برداری از این نوکلئوتید است) [۱۰ و ۳۳]. BRE مکان اتصال TFIIB است و می‌تواند بدون واسطه در بالادست جعبه TATA، قرار بگیرد. این موتیف، در هر دو وضعیت مثبت و منفی فعالیت دارد و توالی مورد توافق آن، $G/C-G/C-G/A-C-G-CC$ می‌باشد [۱۳] (جدول ۱-۱).

جدول ۱-۱- عناصر هسته راه‌انداز. توالی مورد توافق، موقعیت (تقریبی) در رابطه با مکان شروع نسخه‌برداری (TSS)^۱، و

^۱. Transcription Start Site

ارگانسیم منطبق با توالی مورد توافق.

ارگانسیم	موقعیت	توالی مورد توافق	عنصر
انسان	+۵ تا -۲	YYANWYY	آغاز کننده
مگس سرکه	+۴ تا -۲	TCAKTY	
	+۲۴ تا -۳۱	TATAWAAR	TATA جعبه
		SSRCGCC	عنصر شناسایی TFIIB (بالادست)
		RTDKKKK	عنصر شناسایی TFIIB (پایین دست)
مگس سرکه	+۳۳ تا +۲۸	RGWYVT	عنصر پایین دست راه انداز
مگس سرکه	+۲۷ تا +۱۸	CSARCSSAAC	عنصر ده موتیف
انسان	+۱۱ تا +۶	CTTC	عنصر هسته ای پایین دست (زیر واحد یک)
انسان	+۲۱ تا +۱۶	CTGT	عنصر هسته ای پایین دست (زیر واحد دو)
انسان	+۳۴ تا +۳۱	AGC	عنصر هسته ای پایین دست (زیر واحد سه)
انسان	+۲ تا -۸	DSGYGGRASM	عنصر هسته X راه انداز-۱

۳-۱- عناصر تنظیمی پاسخ دهنده به محرک های محیطی

مطالعات مولکولی راه انداز برخی از ژن های گیاهی منجر به شناسایی عناصر تنظیم کننده ای^۱ نظیر Hbox(ACCTA(A/C)CA و Gbox(CACGTG)، Ibox(GATAAAGR)، GT1box(GGTTAA) شده که نقش مهمی در دریافت سیگنال های نوری و در نتیجه ی تنظیم بیان ژن های وابسته به نور ایفا می کنند. عناصر مذکور در راه اندازهای ژن های مختلف و گیاهان متفاوتی شناسایی شده اند، اما تاکنون

۱. Cis Acting Element